

**КОЛЕБАНИЯ ЖЕЛЕЗОБЕТОННОЙ КОНСОЛЬНОЙ БАЛКИ  
С УЧЕТОМ ФИЗИЧЕСКОЙ И ГЕОМЕТРИЧЕСКОЙ НЕЛИНЕЙНОСТЕЙ**

**Фомин В.М.** (Одесская государственная академия строительства и архитектуры, г. Одесса)

У статті [1] були досліджені нестационарні коливання вантажу, розташованого на кінці вертикальної консольної балки при заданому законі зміни горизонтального прискорення точки закріплення балки  $w = w(t)$ . При цьому передбачалось, що основний матеріал балки (який у статті умовно йменувався бетоном) має різну нелінійну пружність у стиснутій та розтягнутій зонах. Однак, як відомо [2], бетон має також різні нелінійно-пружні властивості при збільшенні стискаючих або розтягуючих зусиль (тобто при навантаженні) та при їх зменшенні (тобто при розвантаженні). В даній роботі зроблена спроба врахування цих властивостей бетону при дослідженні нелінійних нестационарних коливань залізобетонної колони із зосередженою масою на кінці. При цьому, як і в [1], прийнято, що матеріал арматури є лінійно пружним.

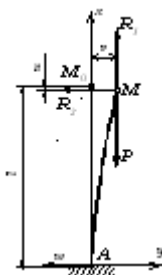


Рис.1

Рассмотрим движение сосредоточенной массы  $M$ , расположенной на конце железобетонной колонны (рис.1), основание которой перемещается по горизонтали с ускорением  $w(t)$ . Составляя основное уравнение динамики точки  $M$  относительно неинерциальной системы отсчета  $xu$  и проектируя его на ось  $y$ , получаем

$$m \frac{d^2 v}{dt^2} = -R_2 + mw(t) \quad (1)$$

где  $m$  – масса точки  $M$ ,  $v$  – ее горизонтальное смещение,  $R_2$  – горизонтальная составляющая реакции колонны. Разделим обе части равенства (1) на  $ml$  ( $l$  – длина консоли) и, пользуясь тем, что по величине  $R_2 = F_2$  ( $F_2$  – горизонтальная составляющая силы, вызвавшей смещение  $v$ ), будем иметь

$$\frac{d^2 \eta}{dt^2} = -\frac{H}{ml^3} \beta + \frac{w(t)}{l} \quad (2)$$

Здесь  $\eta = v/l$ ,  $\beta = F_2 l^2/H$ ,  $H = E_1^{[0]} J + 2E_a S_1 h_1^2$ , ( $E_1^{[0]} = E^{[0]} / (1 - \nu^2)$ ),  $E^{[0]}$  – модуль линейной упругости бетона,  $\nu$  – его коэффициент Пуассона;  $J = dh^3 / 12$  – момент инерции поперечного сечения,  $E_a$  – модуль упругости арматуры;  $S_1$  – площадь сечения верхней и нижней арматуры,  $S = dh$ ; размеры  $d$ ,  $h$  и  $h_1$  показаны на рис.2).

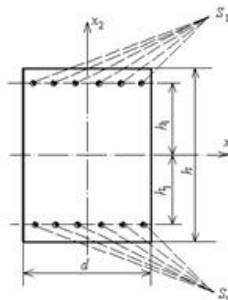


Рис.2

В работах [3] изложен алгоритм, позволяющий определить прогибы железобетонной консольной балки в зависимости от  $\beta_{\Delta(j)}$  ( $\beta_{\Delta(j)} = \beta - \beta_{(j)}^*$ ,  $j$  – номер этапа,  $\beta_{(j)}^*$  – значение  $\beta$  в его начале), а значит, и от  $\beta$ , на разных этапах первого цикла ее квазистатического изгиба: на первом ( $\beta \geq 0, d\beta/dt \geq 0$ ), втором ( $\beta \geq 0, d\beta/dt \leq 0$ ), третьем ( $\beta \leq 0, d\beta/dt \leq 0$ ) и четвертом ( $\beta \leq 0, d\beta/dt \geq 0$ ) этапах. На следующих циклах последовательность этапов сохраняется.

Таким образом, функция  $\nu_{(j)} = \nu_{(j)}(\beta)$ , а, следовательно, и  $\eta_{(j)} = \eta_{(j)}(\beta)$ , определяется на каждом из этапов. Для сокращения объема вычислений можно поступить следующим образом: вычислить

значения  $\eta_{(j)i} = \eta_{(j)}(\beta_{(j)i})$  ( $\beta_{(j)1} = \beta_{(j)}^*$ ,  $\beta_{(j)2} < \beta_{(j)3} < \dots < \beta_{(j)n-1} < \beta_{(j)n}$ ,  $\beta_{(j)n} = \beta_{(j)}^{**}$ ,  $\beta_{(j)}^{**}$  – значение  $\beta$  в конце  $j$ -го этапа),

а затем построить полиномиальную аппроксимацию (например, с использованием

интерполяционной формулы Лагранжа)  $\tilde{\eta}_{(j)}(\beta) = \sum_{k=1}^n H_{(j)k} \beta^{k-1}$  так, чтобы

$\tilde{\eta}_{(j)}(\beta_{(j)i}) = \eta_{(j)i}$  ( $i = 1, 2, \dots, n$ ). Используя методы полиномиальной аппроксимации и те же

значения  $\eta_{(j)i}$  и  $\beta_{(j)i}$  ( $i = 1, 2, \dots, n$ ), легко получить формулу и для обратной функции  $\tilde{\beta}_{(j)}(\eta)$ :

$$\tilde{\beta}_{(j)}(\eta) = \sum_{k=1}^n B_{(j)k} \eta^{k-1} \quad (3)$$

Произведем в (2) замену независимой переменной  $t$  безразмерным временем  $\tau$  следующим образом:

$$t = \tau / \omega_0, \quad (4)$$

( $\omega_0$  – частота свободных линейных колебаний груза на консоли:  $\omega_0 = (3H/ml^3)^{1/2}$ ). Тогда с одновременной заменой  $\beta$  его полиномиальной аппроксимацией для движения груза на  $j$ -ом этапе будем иметь следующее дифференциальное уравнение:

$$\ddot{\eta} = -\tilde{\beta}_{(j)}(\eta) / 3 - \bar{\omega}(\tau / \omega_0), \quad (5)$$

где  $\ddot{\eta} = \frac{d^2 \eta}{d\tau^2}$ ,  $\bar{\omega}(\tau) = \omega(\tau) / \omega_0^2$ .

Для демонстрации метода решения дифференциального уравнения (5) рассмотрим несколько примеров.

**Пример 1 – нелинейные свободные колебания груза.** В этом случае  $\bar{\omega}(\tau) = 0$ . Предположим, что сначала с помощью квазистатического приложения силы  $F_2$  груз был смещен из положения равновесия на некоторое расстояние  $\nu_0$  в сторону положительного направления оси  $y$ . Затем (при  $t = 0$ ) груз был отпущен, и начались его свободные колебания. Таким образом, на начальном (после  $t = 0$ ) этапе движения груза имеем  $\beta > 0$ . Кроме того, очевидно, что реакция консоли начинает уменьшаться, т.е.  $\dot{\beta} < 0$ . Это означает, что движение началось со второго этапа изгиба консоли, т.е. в (5) следует положить  $j = 2$ . Начальные условия для этого этапа  $\eta = \nu_0 / l$ ,  $\dot{\eta} = 0$ . С помощью методов, изложенных в [2–4], находим коэффициенты  $B_{(2)k}$  разложения (3), тем самым полностью определяем параметры, однозначно определяющие функцию  $\tilde{\beta}_{(2)}(\eta)$ . Затем приступаем к численному решению уравнения (5), например, с помощью метода Рунге-Кутты, определяя на каждом шаге значение  $\eta$  и  $\dot{\eta}$ , а также  $\beta$ . Как только  $\dot{\beta}$  становится равным нулю, вычисления прекращаем, так как равенство  $\dot{\beta} = 0$  означает конец этапа. Значения  $\eta$  и  $\beta$  в этот момент суть не что иное, как  $\eta_{(2)}^{**}$  и  $\beta_{(2)}^{**}$  (т.е. конечные значения для этого этапа).

Вследствие непрерывности функций  $\eta(\tau)$  и  $\dot{\eta}(\tau)$  они являются одновременно  $\dot{\eta}^{(3)}$  и  $\dot{\eta}^{(4)}$ , т.е. начальными значениями для следующего этапа, на котором  $\tilde{\beta}^{(3)} < 0$  и  $\tilde{\beta}^{(3)} < 0$ . Затем определяем  $B_{(3)k}$  и процедура построения решения повторяется, при этом определяются  $\eta$  и  $\dot{\eta}$ , а также  $\tilde{\beta}^{(3)}$  и  $\tilde{\beta}^{(3)}$ . Значение  $\tilde{\beta}^{(3)} = 0$  означает конец третьего этапа. В этот момент определяются  $\dot{\eta}^{(3)} = \dot{\eta}^{(4)}$  и  $\dot{\eta}^{(3)} = \dot{\eta}^{(4)}$ . Теперь можно приступить к четвертому этапу, который является заключительным для первого цикла. Второй цикл начинается с первого этапа, начальные условия для которого определяются в конце четвертого этапа первого цикла и т.д. и т.п.

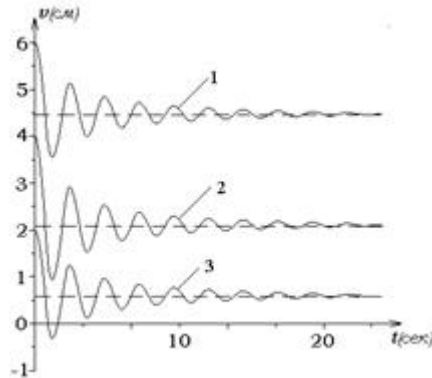


Рис.3

На рис.3 представлены графики свободных колебаний груза на консоли для трех случаев начальных условий 1.  $v_0=0.06\text{м}$ ,  $\dot{v}_0=0$ ; 2.  $v_0=0.04\text{м}$ ,  $\dot{v}_0=0$ ; 3.  $v_0=0.02\text{м}$ ,  $\dot{v}_0=0$ . Сразу заметен затухающий характер колебаний. Кроме того, заметно, что центр колебаний не совпадает с первоначальным положением равновесия. Это связано с возникновением остаточных деформаций во время первоначального отклонения и в процессе последующих колебаний.

**Пример 2 – нелинейные вынужденные колебания груза.** Рассмотрим нестационарные колебания груза, вызванные горизонтальным движением точки опоры колонны с ускорением  $w(t) = w_0 \sin(vt)$ . Дифференциальное уравнение (5) в этом случае будет выглядеть так

$$\ddot{\eta} = -\tilde{\beta}_{(j)}(\eta) / 3 - \bar{w}_0 \sin(\lambda t), \quad (6)$$

где  $\bar{w}_0 = w_0 / l\omega_0^2$ ,  $\lambda = v / \omega_0$ . Предполагается, что в начальный момент колонна и груз на ее конце находились в состоянии покоя. Согласно рис.1 первоначальное смещение точки опоры колонны вместе с системой координат направлено влево, что приводит к смещению груза относительно системы координат  $xu$  вправо.

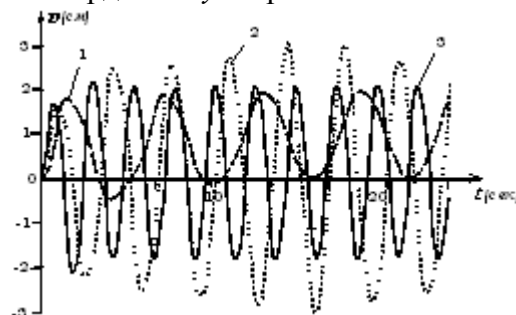


Рис.4

Таким образом, на первом этапе движения груза  $\dot{\psi} > 0, \dot{\beta} > 0$ , откуда следует  $\beta > 0, \dot{\beta} > 0$ , т.е. этап движения соответствует первому этапу изгиба консоли. Используя [3], определяем коэффициенты  $B_{(n)}$  разложения (3), а затем приступаем к решению уравнения (6). Равенство  $\dot{\beta} = 0$  означает конец первого этапа и начало второго. Далее все производится аналогично предыдущему примеру. На рис.4 представлены графики движения груза при различных значениях  $\lambda = v/\omega_0$ . Кривая 1 соответствует  $\lambda = 0.4$ , кривая 2 –  $\lambda = 0.7$  и кривая 3 –  $\lambda = 1$ . Сразу можно заметить, что при малых  $\lambda$  центр колебаний смещен в сторону первоначального смещения груза. При увеличении  $\lambda$  центр смещается к точке  $\psi = 0$ .

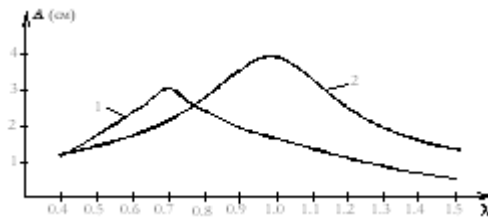


Рис.5

На рис.5 представлены значения амплитуд установившихся нелинейных колебаний в зависимости от  $\lambda = v/\omega_0$  (кривая 1). Для сравнения приведена кривая 2 зависимости амплитуд линейных колебаний при том же возбуждении колебаний. Для линейных колебаний введено вязкое сопротивление, коэффициент которого может быть определен из соотношения  $\gamma = \psi \sqrt{\omega_0^2 - \gamma^2} / 2\pi$ , где  $\psi$  – коэффициент поглощения энергии, представляющий собой отношение потери упругой энергии за цикл к упругой энергии в начале цикла [4]. В соответствии с [4] для железобетонных балок  $\psi$  принимается равным 0,56.

**Вывод.** Остаточные деформации существенно влияют на характер нелинейных колебаний железобетонных балок.

### Summary

**It is well known that concrete has different characteristics of deformation when it is compressed or stretched and when a load is growing or subsiding. In this article an investigation of nonlinear oscillations of RC cantilever has been carried out with taking into account mentioned above properties of concrete.**

- 1.Фомин В.М. Нестационарные колебания груза на консоли с учетом физической и геометрической нелинейностей // Вісник ОДАБА. Вып. 30, – Одесса, 2008, – с. 301 – 310.
2. Карпенко Н.И. Общие модели механики железобетона. М: Стройиздат, 1996.– 416 с.
3. Фомин В.М. Плоский изгиб железобетонной консольной балки с учетом физической и геометрической нелинейностей при циклическом нагружении (1,2,3) // Вісник ОДАБА. Вып. , – Одесса, 2009.– с. 4.
4. Киселев В.А. Строительная механика Специальный курс(динамика и устойчивость сооружений) М: Стройиздат, 1964. – 332 с.